

			Projekce iGEO s.r.o., www.igeo.cz, mobil.:				JV3		Strana:		1 / 5																																																																																																																																																																																																
Zakázka: ROZVOJ AREÁLU VOZOVNY DPMB, A. S. SLATINA							X Y Z	1162481.71 593749.99 246.53		Dokumentoval:		Mgr. Dominik Novák																																																																																																																																																																																															
Měřítko: 1:20		Datum: 12.02.2025		DOKUMENTACE JÁDROVÉHO VRTU						Vyhotovil:		Věra Dočkalová																																																																																																																																																																																															
										Zkontroloval:		Mgr. Dominik Novák																																																																																																																																																																																															
Litologický popis vrtného jádra, konzistenční meze a ulehlosti jsou podle				Symbol	Hloubka (m)	ISO 14688-1,2	ČSN 73 6133	Hominy	Objemová hmotnost (kN/m³), pyknometr	Vzorkování	Podzemní voda	CBR (Jenkins a Kerr)*	Index konzistence (IC)	Neodvodněná smýková pevnost (kPa)*	Rezid. neodv. (kPa)*	Senzitivita*	X - Index konzistence (IC), stanoveno přepočtem z cu (kPa)																																																																																																																																																																																										
ČSN 73 6133																																																																																																																																																																																																											
0,0 - 0,3 m: ASFALT					0,1					PAU								<div>00.511.52</div> <table><tr><td>0</td><td>0,5</td><td>1</td><td>1,5</td><td>2</td></tr><tr><td>0</td><td></td><td></td><td></td><td></td></tr><tr><td>0,2</td><td></td><td></td><td></td><td></td></tr><tr><td>0,4</td><td></td><td></td><td></td><td></td></tr><tr><td>0,6</td><td></td><td></td><td></td><td></td></tr><tr><td>0,8</td><td></td><td></td><td></td><td></td></tr><tr><td>1</td><td></td><td></td><td></td><td></td></tr><tr><td>1,2</td><td></td><td></td><td></td><td></td></tr><tr><td>1,4</td><td></td><td></td><td></td><td></td></tr><tr><td>1,6</td><td></td><td></td><td></td><td></td></tr><tr><td>1,8</td><td></td><td></td><td></td><td></td></tr><tr><td>2</td><td></td><td></td><td></td><td></td></tr><tr><td>2,2</td><td></td><td></td><td></td><td></td></tr><tr><td>2,4</td><td></td><td></td><td></td><td></td></tr><tr><td>2,6</td><td></td><td></td><td></td><td></td></tr><tr><td>2,8</td><td></td><td></td><td></td><td></td></tr><tr><td>3</td><td></td><td></td><td></td><td></td></tr><tr><td>3,2</td><td></td><td></td><td></td><td></td></tr><tr><td>3,4</td><td></td><td></td><td></td><td></td></tr><tr><td>3,6</td><td></td><td></td><td></td><td></td></tr><tr><td>3,8</td><td></td><td></td><td></td><td></td></tr><tr><td>4</td><td></td><td></td><td></td><td></td></tr><tr><td>4,2</td><td></td><td></td><td></td><td></td></tr><tr><td>4,4</td><td></td><td></td><td></td><td></td></tr><tr><td>4,6</td><td></td><td></td><td></td><td></td></tr><tr><td>4,8</td><td></td><td></td><td></td><td></td></tr><tr><td>5</td><td></td><td></td><td></td><td></td></tr><tr><td>5,2</td><td></td><td></td><td></td><td></td></tr><tr><td>5,4</td><td></td><td></td><td></td><td></td></tr><tr><td>5,6</td><td></td><td></td><td></td><td></td></tr><tr><td>5,8</td><td></td><td></td><td></td><td></td></tr><tr><td>6</td><td></td><td></td><td></td><td></td></tr><tr><td>6,2</td><td></td><td></td><td></td><td></td></tr><tr><td>6,4</td><td></td><td></td><td></td><td></td></tr><tr><td>6,6</td><td></td><td></td><td></td><td></td></tr><tr><td>6,8</td><td></td><td></td><td></td><td></td></tr><tr><td>7</td><td></td><td></td><td></td><td></td></tr></table>	0	0,5	1	1,5	2	0					0,2					0,4					0,6					0,8					1					1,2					1,4					1,6					1,8					2					2,2					2,4					2,6					2,8					3					3,2					3,4					3,6					3,8					4					4,2					4,4					4,6					4,8					5					5,2					5,4					5,6					5,8					6					6,2					6,4					6,6					6,8					7				
0	0,5	1	1,5	2																																																																																																																																																																																																							
0																																																																																																																																																																																																											
0,2																																																																																																																																																																																																											
0,4																																																																																																																																																																																																											
0,6																																																																																																																																																																																																											
0,8																																																																																																																																																																																																											
1																																																																																																																																																																																																											
1,2																																																																																																																																																																																																											
1,4																																																																																																																																																																																																											
1,6																																																																																																																																																																																																											
1,8																																																																																																																																																																																																											
2																																																																																																																																																																																																											
2,2																																																																																																																																																																																																											
2,4																																																																																																																																																																																																											
2,6																																																																																																																																																																																																											
2,8																																																																																																																																																																																																											
3																																																																																																																																																																																																											
3,2																																																																																																																																																																																																											
3,4																																																																																																																																																																																																											
3,6																																																																																																																																																																																																											
3,8																																																																																																																																																																																																											
4																																																																																																																																																																																																											
4,2																																																																																																																																																																																																											
4,4																																																																																																																																																																																																											
4,6																																																																																																																																																																																																											
4,8																																																																																																																																																																																																											
5																																																																																																																																																																																																											
5,2																																																																																																																																																																																																											
5,4																																																																																																																																																																																																											
5,6																																																																																																																																																																																																											
5,8																																																																																																																																																																																																											
6																																																																																																																																																																																																											
6,2																																																																																																																																																																																																											
6,4																																																																																																																																																																																																											
6,6																																																																																																																																																																																																											
6,8																																																																																																																																																																																																											
7																																																																																																																																																																																																											
					0,2																																																																																																																																																																																																						
					0,3																																																																																																																																																																																																						
					0,4	(saSigl)	(F3 MS)																																																																																																																																																																																																				
					0,5																																																																																																																																																																																																						
					0,6																																																																																																																																																																																																						
					0,7																																																																																																																																																																																																						
					0,8																																																																																																																																																																																																						
					0,9																																																																																																																																																																																																						
					1																																																																																																																																																																																																						
					1,1	(SiglSa)	(F5 ML)																																																																																																																																																																																																				
					1,2																																																																																																																																																																																																						
					1,3						14	1,29	129	54	2																																																																																																																																																																																												
					1,4	(saSigl)	(F3 MS)			P1																																																																																																																																																																																																	
					1,5					P1																																																																																																																																																																																																	
					1,6					P1																																																																																																																																																																																																	
					1,7					P1																																																																																																																																																																																																	
					1,8					P1																																																																																																																																																																																																	
					1,9					P1																																																																																																																																																																																																	
					2					P1																																																																																																																																																																																																	
					2,1					P1																																																																																																																																																																																																	
					2,2					P1																																																																																																																																																																																																	
					2,3					N1																																																																																																																																																																																																	
					2,4					N1																																																																																																																																																																																																	
					2,5					N1																																																																																																																																																																																																	
					2,6					P1																																																																																																																																																																																																	
					2,7					P1																																																																																																																																																																																																	
					2,8					P1																																																																																																																																																																																																	
					2,9					P1																																																																																																																																																																																																	
					3					P1																																																																																																																																																																																																	
					3,1					P1																																																																																																																																																																																																	
					3,2					P1	9	0,99	99	21	5																																																																																																																																																																																												
					3,3					P1																																																																																																																																																																																																	
					3,4					P1																																																																																																																																																																																																	
					3,5					P1																																																																																																																																																																																																	
					3,6																																																																																																																																																																																																						
					3,7																																																																																																																																																																																																						
					3,8					P2																																																																																																																																																																																																	
					3,9	Cl	F6 Cl			P2		0,98																																																																																																																																																																																															
					4					N2																																																																																																																																																																																																	
					4,1					N2																																																																																																																																																																																																	
					4,2					N2																																																																																																																																																																																																	
					4,3																																																																																																																																																																																																						
					4,4																																																																																																																																																																																																						
					4,5																																																																																																																																																																																																						
					4,6																																																																																																																																																																																																						
					4,7						6	0,81	81	19	4																																																																																																																																																																																												
					4,8																																																																																																																																																																																																						
					4,9																																																																																																																																																																																																						
					5																																																																																																																																																																																																						
					5,1																																																																																																																																																																																																						
					5,2																																																																																																																																																																																																						
					5,3																																																																																																																																																																																																						
					5,4																																																																																																																																																																																																						
					5,5																																																																																																																																																																																																						
					5,6																																																																																																																																																																																																						
					5,7																																																																																																																																																																																																						
					5,8																																																																																																																																																																																																						
					5,9																																																																																																																																																																																																						
					6																																																																																																																																																																																																						
					6,1	(grSa)	(S1 SW)																																																																																																																																																																																																				
					6,2																																																																																																																																																																																																						
					6,3																																																																																																																																																																																																						
					6,4																																																																																																																																																																																																						
					6,5																																																																																																																																																																																																						
					6,6																																																																																																																																																																																																						
					6,7																																																																																																																																																																																																						
					6,8																																																																																																																																																																																																						
					6,9																																																																																																																																																																																																						
					7																																																																																																																																																																																																						
Konec sondy:		30,0 m																																																																																																																																																																																																									
Metoda:		Jádrový vrt														*Nad HPV orientační																																																																																																																																																																																											

 Projekce iGEO s.r.o.		Projekce iGEO s.r.o., www.igeo.cz, mobil.:				JV3		Strana: 2 / 5																		
Zakázka: ROZVOJ AREÁLU VOZOVNY DPMB, A. S. SLATINA						X Y Z	1162481.71 593749.99 246.53		Dokumentoval: Mgr. Dominik Novák																	
Měřítka: 1:20 Datum: 12.02.2025						DOKUMENTACE JÁDROVÉHO VRTU				Vyhotovil: Věra Dočkalová																
										Zkontroloval: Mgr. Dominik Novák																
Litologický popis vrtného jádra, konzistenční meze a ulehlosti jsou podle											X - Index konzistence (IC), stanoveno přepočtem z cu (kPa)															
ČSN 73 6133						Symbol	Hloubka (m)	ISO 14688-1,2	ČSN 73 6133	Horniny	Objemová hmotnost (kN/m³), pykrometr	Vzorkování	Podzemní voda	CBR (Jenkins a Kerr)	Index konzistence (IC)	Neodvodněná amýková pevnost (kPa)	cu	Rezid. neodv. (kPa)	cur	Rezid. neodv. (kPa)	s	Senzitivita				
6,0 - 16,0 m: PÍSEK šterkovitý, kyprý, zavlhlý, klasty polozaoblené do 5 cm, různé horniny, hnědý, klasty s hloubkou ubývají a zmenšují se, FLUVIÁLNÍ							7,1	(grSa)	(S1 SW)																	
							7,2																			
							7,3																			
							7,4																			
							7,5																			
							7,6																			
							7,7																			
							7,8																			
							7,9																			
							8																			
							8,1																			
							8,2																			
							8,3																			
							8,4																			
							8,5																			
							8,6																			
							8,7																			
							8,8																			
							8,9																			
							9																			
							9,1																			
							9,2																			
							9,3																			
							9,4																			
							9,5																			
							9,6																			
							9,7																			
							9,8																			
							9,9																			
							10																			
							10,1																			
							10,2																			
							10,3																			
							10,4																			
							10,5																			
							10,6																			
							10,7																			
							10,8																			
	10,9																									
	11																									
	11,1																									
	11,2																									
	11,3										P3															
	11,4										P3															
	11,5										P3															
	11,6										P3															
	11,7										P3															
	11,8										P3															
	11,9																									
	12																									
	12,1																									
	12,2																									
	12,3																									
	12,4																									
	12,5																									
	12,6																									
	12,7																									
	12,8																									
	12,9																									
	13																									
	13,1																									
	13,2																									
	13,3																									
	13,4																									
	13,5																									
	13,6																									
	13,7																									
	13,8																									
	13,9																									
	14																									
Konec sondy:		30,0 m																								
Metoda:		Jádrový vrt																								

 Projekce iGEO s.r.o.			Projekce iGEO s.r.o., www.igeo.cz, mobil.:			JV3			Strana:			3 / 5														
Zakázka: ROZVOJ AREÁLU VOZOVNY DPMB, A. S. SLATINA							X Y Z	1162481.71 593749.99 246.53			Dokumentoval:			Mgr. Dominik Novák												
Měřítko: 1:20		Datum: 12.02.2025		DOKUMENTACE JÁDROVÉHO VRTU							Vyhotovil:			Věra Dočkalová												
											Zkontroloval:			Mgr. Dominik Novák												
Litologický popis vrtného jádra, konzistenční meze a ulehlosti jsou podle				Symbol	Hloubka (m)	ISO 14688-1,2	ČSN 73 6133	Hominy	Objemová hmotnost γ (kN/m³), pyknometr	Vzorkování	Podzemní voda	CBR (Jenkins a Kerr)	Index konzistence (Ic)	Neodvodněná smyková pevnost (kPa)	cu, r	Rezid. neodv. (kPa)	Senzitivita	X - Index konzistence (IC), stanoveno přepočtem z cu (kPa)								
ČSN 73 6133																										
6,0 - 16,0 m: PÍSEK šterkovitý, kyprý, zavlhlý, klasty polozaoblené do 5 cm, různé horniny, hnědý, klasty s hloubkou ubývají a zmenšují se, FLUVIÁLNÍ					14,1	(grSa)	(S1 SW)												0	0,5	1	1,5	2			
					14,2																	14,1				
					14,3																	14,3				
					14,4																	14,5				
					14,5																	14,7				
					14,6																	14,9				
					14,7																	15,1				
					14,8																	15,3				
					14,9																	15,5				
					15																	15,7				
					15,1																	15,9				
					15,2																	16,1				
					15,3																	16,3				
					15,4																	16,5				
					15,5																	16,7				
					15,6																	16,9				
	15,7																	17,1								
	15,8																	17,3								
	15,9																	17,5								
	16																	17,7								
	16,1	(sicSa)	(S5 SC)															17,9								
	16,2																	18,1								
	16,3																	18,3								
	16,4																	18,5								
	16,5																	18,7								
	16,6																	18,9								
	16,7																	19,1								
	16,8																	19,3								
	16,9																	19,5								
	17																	19,7								
	17,1																	19,9								
	17,2																	20,1								
	17,3																	20,3								
	17,4																	20,5								
	17,5																	20,7								
	17,6																	20,9								
	17,7																	21								
	17,8																									
	17,9																									
	18																									
	18,1																									
	18,2																									
	18,3																									
	18,4																									
	18,5																									
	18,6																									
	18,7																									
	18,8																									
	18,9																									
	19																									
	19,1	(saGr)	(G1 GW)																							
	19,2																									
	19,3																									
	19,4																									
	19,5																									
	19,6																									
	19,7																									
	19,8																									
	19,9																									
	20																									
	20,1																									
	20,2																									
	20,3																									
	20,4																									
	20,5																									
	20,6																									
	20,7																									
	20,8																									
	20,9																									
	21																									
Konec sondy:		30,0 m																								
Metoda:				Jádrový vrt																						

<div>Projekce iGEO s.r.o.</div>			Projekce iGEO s.r.o., www.igeo.cz, mobil.:			JV3			Strana:			4 / 5																	
Zakázka: ROZVOJ AREÁLU VOZOVNY DPMB, A. S. SLATINA						X Y Z	1162481.71 593749.99 246.53		Dokumentoval:			Mgr. Dominik Novák																	
Měřitko: 1:20		Datum:	12.02.2025		DOKUMENTACE JÁDROVÉHO VRTU						Vyhotovil:			Věra Dočkalová															
									Zkontroloval:			Mgr. Dominik Novák																	
Litologický popis vrtného jádra, konzistenční meze a ulehlosti jsou podle						Symbol	Hloubka (m)	ISO 14688-1,2 (sI _C /s _a)	ČSN 73 6133 (F ₆ Cl)	Hominy	Objemová hmotnost (kN/m ³), pyknometr γ	Vzorkování	Podzemní voda	CBR (Jenkins a Kerr)	Index konzistence (I _c)	Neodvodňaná smyková pevnost (kPa) c _u	Razid. neodv. (kPa) c _r	Senzitivita s	X - Index konzistence (I _C), stanoveno přepočtem z c _u (kPa)										
ČSN 73 6133																													
21,0 - 23,1 m: JÍL prachovitý s příměsí písku, pevný, zvodnělý, béžovošedý, MARINNÍ						█	21,1	(sI _C /s _a)	(F ₆ Cl)						12	0,90	90	20	4	21,1	<div><div></div><div>00,511,52</div></div> <div><div></div><div>21,1</div><div>21,3</div><div>21,5</div><div>21,7</div><div>21,9</div><div>22,1</div><div>22,3</div><div>22,5</div><div>22,7</div><div>22,9</div><div>23,1</div><div>23,3</div><div>23,5</div><div>23,7</div><div>23,9</div><div>24,1</div><div>24,3</div><div>24,5</div><div>24,7</div><div>24,9</div><div>25,1</div><div>25,3</div><div>25,5</div><div>25,7</div><div>25,9</div><div>26,1</div><div>26,3</div><div>26,5</div><div>26,7</div><div>26,9</div><div>27,1</div><div>27,3</div><div>27,5</div><div>27,7</div><div>27,9</div></div>								
							21,2																						21,3
							21,3																						21,5
							21,4																						21,7
							21,5																						21,9
							21,6																						22,1
							21,7																						22,3
							21,8																						22,5
							21,9																						22,7
							22																						22,9
							22,1																						23,1
							22,2																						23,3
							22,3																						23,5
							22,4																	>15,5	>1,25	>125		-	23,7
							22,5																						23,9
							22,6																						24,1
							22,7																						24,3
							22,8																						24,5
							22,9																						24,7
							23																						24,9
23,1																			25,1										
23,2																			25,3										
23,3																			25,5										
23,4																			25,7										
23,5																			25,9										
23,6																			26,1										
23,7																			26,3										
23,8																			26,5										
23,9																			26,7										
24																			26,9										
24,1																			27,1										
24,2																			27,3										
24,3																			27,5										
24,4																			27,7										
24,5																			27,9										
24,6																			28										
24,7																													
24,8																													
24,9																													
25																													
25,1																													
25,2																													
25,3																													
25,4																													
25,5	Cl	F8 CV													0,95														
25,6																													
25,7																													
25,8																													
25,9																													
26																													
26,1																													
26,2																													
26,3																													
26,4																													
26,5																													
26,6																													
26,7																													
26,8																													
26,9																													
27																													
27,1																													
27,2																													
27,3																													
27,4																													
27,5	(sI _C /s _a)	(F ₆ Cl)																											
27,6																													
27,7																													
27,8																													
27,9																													
28																													
Konec sondy:		30,0 m																											
Metoda:		Jádrový vrt																											

<div><div></div><div>Projekce iGEO s.r.o.</div></div>			Projekce iGEO s.r.o., www.igeo.cz, mobil.:				JV3		Strana:		5 / 5										
Zakázka: ROZVOJ AREÁLU VOZOVNY DPMB, A. S. SLATINA							X Y Z		1162481.71 593749.99 246.53		Dokumentoval: Mgr. Dominik Novák										
Měřítko: 1:20		Datum: 12.02.2025		DOKUMENTACE JÁDROVÉHO VRTU						Vyhotoval: Věra Dočkalová		Zkontroloval: Mgr. Dominik Novák									
Litologický popis vrtného jádra, konzistenční meze a ulehlosti jsou podle				Symbol	Hloubka (m)	ISO 14688-1,2	ČSN 73 6133	Hominy	Objemová hmotnost (kN/m³), pyknometr	Vzorkování	Podzemní voda	CBR (Jenkins a Kerr)	Index konzistence (Ic)	Neodvodněná smyková pevnost (kPa)	cu, r	Razid. neodv. (kPa)	Senzitivita	X - Index konzistence (IC), stanoveno přepočtem z cu (kPa)			
ČSN 73 6133																			(Sa/Si/Cl)	(S2 SP/ F6 CL)	
28,0 - 28,6 m: laminované střídaní střednězrného PÍSKU (ulehlý až oranžový) a prachovitého JÍLU (pevný, šedý), FLUVIÁLNÍ					28,1														28,1		
					28,2															28,3	
					28,3																
					28,4																
					28,5																
					28,6																
28,6 - 29,6 m: PÍSEK střednězrný s příměsí jílu, středně ulehlý, zvodnělý, oranžovošedý, lokálně vyšší obsah jílu, FLUVIÁLNÍ					28,7	(Sa/Cl)	(S3 S-F)												28,7		
					28,8																28,9
					28,9																
					29																
					29,1																
					29,2																
					29,3																
					29,4																
					29,5																
					29,6																
29,6 - 30,0 m: PÍSEK šterkovitý s příměsí jílu, ulehlý, zvodnělý, klasty polozablné do 1 cm, oranžový až tmavě hnědý, FLUVIÁLNÍ					29,7	(grSa/Cl)	(S3 S-F)												29,5		
					29,8																29,7
					29,9																
					30																
					30,1														30,1		
					30,2																30,3
					30,3																
					30,4																
					30,5																
					30,6																
					30,7																
					30,8																
					30,9																
					31																
					31,1																
					31,2																
					31,3																
					31,4																
					31,5																
					31,6																
					31,7																
					31,8																
					31,9																
					32																
					32,1																
					32,2																
					32,3																
					32,4																
					32,5																
					32,6																
					32,7																
					32,8																
					32,9																
					33																
					33,1																
					33,2																
					33,3																
					33,4																
					33,5																
33,6																					
33,7																					
33,8																					
33,9																					
34																					
34,1																					
34,2																					
34,3																					
34,4																					
34,5																					
34,6																					
34,7																					
34,8																					
34,9																					
35																					
Konec sondy:		30,0 m																			
Metoda:				Jádrový vrt																	